

УДК 564.533.3:551.761.1(571.63)

## НОВЫЕ ПРЕДСТАВИТЕЛИ СЕМЕЙСТВА MELAGATHICERATIDAE (AMMONOIDEA) ИЗ НИЖНЕГО ТРИАСА ЮЖНОГО ПРИМОРЬЯ

© 2012 г. О. П. Смышляева, Ю. Д. Захаров

Дальневосточный геологический институт ДВО РАН, Владивосток

e-mail: olgasmysh@mail.ru

Поступила в редакцию 18.05.2011 г.

Принята к печати 28.06.2011 г.

Из раннеоленекских отложений Южного Приморья описан новый род аммоидей *Ussurijuvenites* семейства Melagathiceratidae, представленный двумя видами: *U. popovi* sp. nov. и *U. artyomensis* sp. nov. Впервые получены данные о внутреннем строении раковины аммоидей семейства Melagathiceratidae на материале по *U. artyomensis*.

Семейство Melagathiceratidae было выделено Е. Тозером (Tozer, 1961, 1971). По его представлению (Tozer, 1994), к этому семейству принадлежат следующие роды аммоидей: *Melagathiceras* Tozer, 1971, *Juvenites* Smith, 1927 и *Thermalites* Smith, 1927, выделяющиеся преимущественно вздутой формой раковины, изменчивой формойentralной стороны и относительно простой (пятилопастной) лопастной линией со слабо зазубренными основаниями лопастей.

Представители семейства Melagathiceratidae в раннем триасе имели глобальное распространение (были встречены как в высоких, так и низких широтах) и поэтому имеют важное стратиграфическое и палеобиогеографическое значение. В настоящее время мелагатицератиды известны из раннеоленекской зоны *Euflemengites rotunderi* Бореальной области (Попов, 1961; Tozer, 1994; Nichols, Silberling, 1979) и одновозрастных отложений других районов мира: Айдахо (зона *Meekoceras gracilitatis*) (Spath, 1934), Гималаи (зона *Flemingites-Euflemengites*) (Smith, 1932; Krystyn et al., 2007), Тимор (зона *Meekoceras gracilitatis*) (Welter, 1922; Kummel, Steele, 1962), Южный Китай (слои с *Owenites*) (Chao, 1959), Мадагаскар (слои с *Flemingites*) (Collignon, 1933), Япония (зона *Meekoceras*) (Kummel, Steele, 1962), Южное Приморье (Кипарисова, 1961; Захаров, 1968; Захаров и др., 2004).

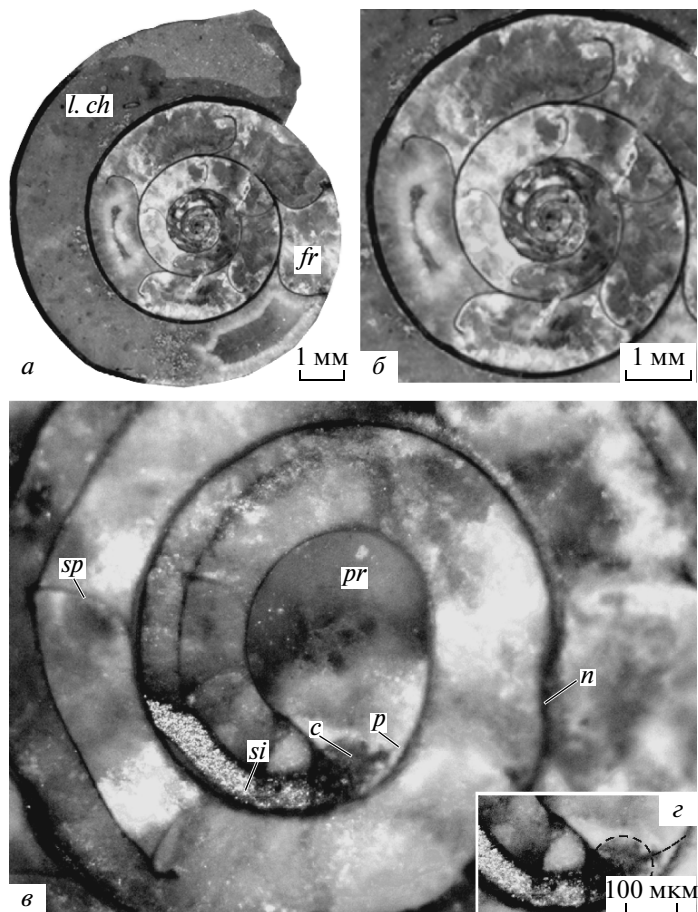
Из представителей семейства Melagathiceratidae в Южном Приморье до недавнего времени были известны представители следующих видов: (1) *Juvenites dieneri* (Hyatt et Smith) – единственная раковина найдена в зоне *Hedenstroemia bosphorensis* мыса Балка на о. Русский (Кипарисова, 1961); (2) *Juvenites* sp. – известен из зон *Hedenstroemia bosphorensis* и *Anasibirites nevolini* района бухт Аякс и Парис о. Русский (Захаров и др., 2004); (3) *J. aff. sinuosus* (Кипарисова) – единичные

экземпляры встречены в зоне *Hedenstroemia bosphorensis* на восточном побережье Уссурийского залива и в верховьях р. Каменушка (Кипарисова, 1961); (4) *Juvenites simplex* (Chao) – скопления раковин встречены в ряде разрезов Южного Приморья (Захаров, 1968). Недавно было установлено присутствие новых таксонов семейства Melagathiceratidae в зоне *Hedenstroemia bosphorensis* района бухты Абрек и окрестностей г. Артем (Захаров и др., 2002, 2004), но до сих пор они не были описаны.

Целью настоящей работы является описание новых таксонов мелагатицератид Южного Приморья и получение данных о внутреннем строении раковины их наиболее хорошо сохранившихся представителей.

Материалом для настоящей работы послужили 5 экз. *Ussurijuvenites popovi* gen. et sp. nov. и 19 экз. *U. artyomensis* sp. nov. из оленекских отложений зоны *Hedenstroemia bosphorensis* окрестностей города Артем. Для изучения внутренней морфологии раковин использовался стереомикроскоп *Discovery V12* (Zeiss). В работе использована классификация элементов внутреннего строения раковины аммоидей относительно их размерности, предложенная Ю.Д. Захаровым (1978).

Внутреннее строение раковины Melagathiceratidae исследовано впервые на примере *Ussurijuvenites artyomensis* sp. nov. (рис. 1, табл. 1). Протоконхи раковины *U. artyomensis* sp. nov. мелкий приближающийся к среднему, шаровидной формы; цекум среднего размера, практически шаровидной формы, просифон с короткой связкой (0.073? мм). Жилая камера аммонителлы короткая ( $\alpha = 275^\circ$ ). Сифон занимает на всех стадиях индивидуального развития крайнее вентральное положение. Тип септальных трубок в пределах первых четырех оборотов ретрохонитовый. Число гидростатических камер, приходящихся на один оборот раковины, около 6–7. Камеры пер-



**Рис. 1.** Внутреннее строение раковины *Juvenites artyomensis* sp.nov., экз. № 22/840: *а* – жилая камера и фрагмокон в медиальном сечении, *б* – ретрохамеллярный тип сепタルных трубок фрагмокона, *в* – положение сифона в начальных оборотах раковины, *г* – цекум и просифон. Обозначения: *l.ch.* – жилая камера, *fr* – фрагмокон; *c* – цекум, *p* – просифон, *n* – первичный пережим, *pr* – протоконх, *sp* – септа, *si* – сифон.

вых четырех оборотов в продольном сечении имеют удлиненную форму, преобладают септы, обращенные округленной выпуклостью в сторону устья.

Судя по этим данным, семейство Melagathiceratidae по расположению сифона, форме и размерам протоконха и строению сепタルных трубок наиболее близко к семейству Paranannitidae Spath, 1934, внутреннее строение которого было исследовано ранее (Захаров, 1978).

На данной стадии изученности семейство Melagathiceratidae принимается нами в объеме четырех родов; кроме *Melagathiceras*, *Juvenites*, *Thermalites*, предложенных Тозером (Tozer, 1994), мы вводим новый род *Ussurijuvenites*. *Prochargoceras* Chao, 1950, которого А.А. Шевырев (1986) относил к семейству Melagathiceratidae, как и *Arnautoceltites* Diener, принадлежит, видимо, к семейству Columbitidae. Б. Каммел (Arkell et al., 1957) считал *Arnautoceltites* старшим синонимом *Juvenites* и *Prochargoceras*, но этот род, в отличие от мелагатицератид, имеет дорсальное положение сифона на

ранней стадии онтогенеза, что типично для колумбитид (Захаров, 1978). Предковая группа мелагатицератид семейственного уровня достоверно не установлена. К этой группе, возможно, принадлежит индский *Prejuvenites* Waterhouse, описанный Дж. Уотерхаузом (Waterhouse, 1996) в составе семейства Melagathiceratidae.

\* \* \*

Авторы искренне благодарны Т.Б. Леоновой (ПИН РАН) за ценные замечания к рукописи. В сборе ископаемого материала в Южном Приморье принимали участие А.М. Попов (ДВГИ ДВО РАН, Владивосток), Я. Шигэта (Национальный музей природы и науки, Токио) и Т. Кумагае (Университет Киото). Исследование на стереомикроскопе выполнено с участием Л.Ф. Симаненко (Аналитический центр ДВГИ ДВО РАН, Владивосток). Авторы признательны всем лицам, содействовавшим подготовке данной публикации.

**Таблица 1.** Данные о внутреннем строении *Ussurijuvenites artyomensis* из оленекских отложений Южного Приморья

Вид	Размеры протоконха, мм			Размеры аммонителлы		Размеры цекума, мм		Длина просифона, мм			
	$D_{\text{пр}}^1$	$D_{\text{пр}}^2$	$W_{\text{пр}}$	$D_a$	$\alpha^0$	$D_{\text{ц}}^1$	$D_{\text{ц}}^2$				
<i>U. artyomensis</i>	0.5	0.33	—	0.75	275	0.12	0.11	0.073?			
Вид	$D_{\text{сиф}}$	$B_1/B_0$	$D_1, \text{мм}$	Положение сифона на разных оборотах I–IV				Тип septальных трубок			
				I	II	III	IV	I	II	III	IV
<i>U. artyomensis</i>	0.68	1.22	0.9	B	B	B	B	P	P	P	P

$D_{\text{пр}}^1$  – наибольший диаметр протоконха,  $D_{\text{пр}}^2$  – наименьший диаметр протоконха,  $W_{\text{пр}}$  – ширина протоконха,  $D_a$  – диаметр аммонителлы,  $\alpha$  – угол, определяющий положение первичного (непионического) валика,  $D_{\text{ц}}^1$  – диаметр цекума вдоль спирали,  $D_{\text{ц}}^2$  – диаметр цекума поперек спирали,  $D_{\text{сиф}}$  – диаметр сифона (апикальный край),  $B_1/B_0$  – показатель спирали начальной части раковины, где  $B_1$  – медиальная высота 1-го оборота,  $B_0$  – медиальная высота первой гидростатической камеры;  $D_1$  – диаметр соответствующего оборота раковины, B – вентральное положение сифона, P – ретроходанитовый тип.

Работа выполнена при поддержке грантов РФФИ (проекты № 09-05-98524Р\_восток\_a, 11-05-00785-а) и проектов ДВО РАН (№ 10-III-B-08-205, 11-III-B-08-193).

Справедливо. От всех представителей семейства Melagathiceratidae отличается наличием умбиликальных бугорков.

#### *Ussurijuvenites popovi Smyshlyeva et Zakharov, sp. nov.*

Табл. IV, фиг. 1–3 (см. вклейку)

Название вида дано в честь палеонтолога А.М. Попова, нашедшего наиболее крупный экземпляр этого вида.

Голотип – ДВГИ, № 3/840; фрагмент с уцелевшей частью жилой камеры, занимающей не менее 2/3 оборота; Южное Приморье, карьер СМИД в окрестностях г. Артем; нижний триас, оленекский ярус, верхняя часть зоны *Hedenstroemia bosphorensis*.

Форма. Раковина пахиконовая, от умеренно эволютной до эволютной, с широкой и округлой вентральной стороной. Вентральные перегибы округленные, боковые стороны выпуклые. Умбиликус широкий, с невысокой крутой стенкой и округленным краем.

Структура. Поверхность боковых сторон раковины покрыта грубыми радиальными ребрами и довольно глубокими пережимами, продолжающимися на вентральную сторону. Иногда между грубыми ребрами заметны тонкие радиальные линии нарастания. На умбиликальном крае наблюдаются четко выраженные округленные бугорки.

Лопастная линия (рис. 2, a). Узкая вентральная лопасть разделена весьма низким срединным седлом на две остроконечные ветви. Пер-

## СИСТЕМАТИЧЕСКАЯ ЧАСТЬ

### СЕМЕЙСТВО MELAGATHICERATIDAE TOZER, 1971

#### Род *Ussurijuvenites* Smyshlyeva et Zakharov, gen. nov.

Название рода от рода *Juvenites* и Уссурийского края (прежнее название Приморского края).

Типовой вид – *Ussurijuvenites popovi* sp. nov.

Диагноз. Раковина пахиконовая (у молодых экземпляров приближающаяся к шаровидной) с широкой округленной вентральной стороной. На умбиликальном крае наблюдаются отчетливые бугорчатые вздутия. Умбиликальная стенка крутая, с отчетливо выраженным краем. Скульптура раковины изменчивая; на молодых оборотах она представлена едва заметными, редко расположенными складками, которые становятся более многочисленными на наружном обороте. Лопастная линия примитивная цератитовая.

Видовой состав. Два-три вида: *Ussurijuvenites popovi* sp. nov. и *U. artyomensis* sp. nov. из оленекского яруса, зоны *Hedenstroemia bosphorensis* Южного Приморья; возможно, *U. kwangsiensis* (Chao) из оленекских слоев с *Owenites* Южного Китая.

вое боковое седло широкое с широко округленной вершиной, второе боковое седло немного ниже первого, но значительно уже его. Боковая лопасть (L) по ширине сравнима с вентральной лопастью, но несколько мельче ее, с весьма мелкими зубчи-

ками в основании, последующая лопасть  $U_1$ , расположенная на умбрикальной стенке, также широкая, но немного мельче лопасти L. В ее основании обнаружены едва заметные зубчики.

Размеры в мм и отношения:

Экз. №	Д	В	Ш	Ду	В/Д	Ш/Д	Ду/Д
2/840	20.2	6.0	11 (12)	8.7	0.3	0.54 (0.6)	0.43
Голотип 3/840	17.2	6.0	9 (10)	7.1	0.35	0.52 (0.58)	0.41
5/840	15.5	4.7	8 (9)	6	0.3	0.52 (0.58)	0.39
6/840	11.7	4.0	6.8	4	0.34	0.58	0.34

Значения в скобках здесь и далее соответствуют ширине раковины, замеренной с учетом элементов скульптуры.

**Сравнение.** По форме раковины и скульптуре описываемый вид напоминает *U.? kwang-siensis* (Chao, 1959, с. 287, табл. 26, фиг. 6–8) из раннеоленекских отложений Южного Китая, но отличается большей эволютностью раковины, более грубой радиальной скульптурой, несколько более выраженным умбрикальными бугорками, зазубренностью основания боковой лопасти, и, по-видимому, значительно более обособленной лопастью  $U_1$ .

**Материал.** 5 экз. из типового местонахождения.

#### *Ussurijuvenites artyomensis Smyshlyanova et Zakharov, sp. nov.*

Табл. IV, фиг. 4–11

**Название вида от г. Артём.**

**Голотип** – ДВГИ, № 10/840; фрагмент с уцелевшей частью жилой камеры, занимающей не менее 1/2 оборота; Южное Приморье, карьер СМИД в окрестностях г. Артем; нижний триас, оленекский ярус, верхняя часть зоны *Hedenstromia bosphorensis*.

**Форма.** Раковина пахиконовая, приближающаяся к шаровидной, умеренно эволютная с широкой округленной вентральной стороной. Вентральные перегибы округленные, боковые стороны выпуклые. Умбрикус от умеренно широкого до широкого, с невысокой отвесной стенкой и круто округленным краем.

**Скульптура.** Поверхность боковых сторон раковины покрыта грубыми радиальными ребрами, осложненными острыми умбрикальными бугорками, складками и довольно глубокими перегибами, продолжающимися на вентральную сторону. На отдельных участках заметны тонкие

радиальные линии нарастания. За счет бугорков наибольшая ширина раковины приходится на умбрикальный участок. Наибольшее число перегибов наблюдается на уцелевшей части жилой камеры.

**Лопастные линии** (рис. 2, *б*). Довольно узкая вентральная лопасть разделена весьма низким срединным седлом на две ветви с округленными основаниями. Первое боковое седло широкое с широко округленной вершиной, второе боковое седло почти вдвое ниже первого. Боковая лопасть (L) довольно широкая, но несколько мельче вентральной, последующая лопасть  $U_1$ , расположенная на умбрикальной стенке, относительно широкая, но немного мельче лопасти L.

Размеры в мм и отношения:

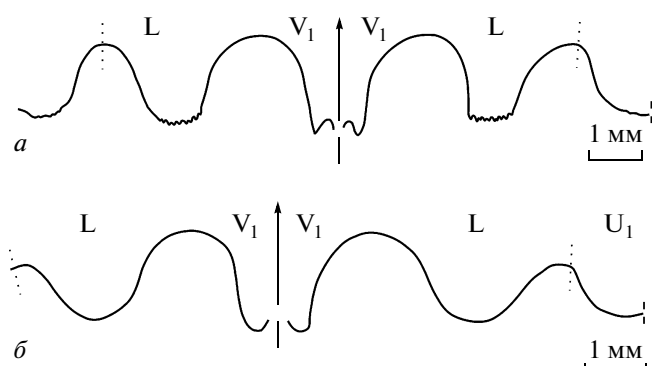


Рис. 2. Лопастные линии: *а* – *Ussurijuvenites popovi* sp. nov., голотип № 3/840 (В = 6 мм); *б* – *Ussurijuvenites artyomensis* sp. nov., голотип № 10/840 (В = 4.6 мм).

Экз. №	Д	В	Ш	Ду	В/Д	Ш/Д	Ду/Д
Голотип 10/840	15.2	5.0	10 (11.2)	6.1	0.33	0.66 (0.74)	0.40
11/840	13.2	4.5	8.5 (10)	4.5	0.34	0.64 (0.76)	0.34
12/840	13.0	4.0	8.9 (10)	4.2	0.31	0.68 (0.77)	0.32
13/840	?13	4.3	9 (10)	4.3	0.33	0.69 (0.77)	0.33
14/840	12.5	4.2	?9	4.2	0.33	0.72	0.33
15/840	?12.2	?4.2	9.2 (10.5)	?4.2	0.34	0.75 (0.86)	0.34
16/840	12.2	4.0	?9	4.2	0.33	?0.74	0.34
17/840	12	?4	?8.7	4.0	0.33	0.75	0.33
18/840	11.8	4.0	8.2 (10.2)	3.8	0.35	0.71 (0.89)	0.33
19/840	12	4.0	8.7 (10)	4.0	0.33	0.73 (0.83)	0.33
20/840	11.5	3.8	9.5 (10.5)	4	0.33	0.82 (0.91)	0.35
21/840	?10.4	3.1	9 (10.5)	3.5	0.3	1.01 (0.87)	0.34
22/840	9.7	3.5	?9.0	3.2	?0.36	0.93	0.33
23/840	9.7	3.4	8.2 (9)	3.2	0.35	0.93 (0.85)	0.33
24/840	9.2	3.2	7.8 (8.5)	3.0	0.34	0.86 (0.92)	0.33
25/840	8.0	3.0	7.0	2.9	0.37	0.86	0.36
26/840	7.2	2.7	6.7	2.5	0.37	0.96	0.35
27/840	7.0	2.5	7.0	2.5	0.36	1.0	0.36
28/840	7.0	2.5	6.1	2.1	0.36	0.87	0.30

Справление. От наиболее сходного по облику раковины и скульптуре *U. popovi* sp. nov. отличается более примитивной лопастной линией, без зазубренности в основании боковых лопастей при высоте раковины 4.6 мм, меньшей эволютностью, большей вздутостью раковины и более острыми умбиликальными бугорками. От *U.?* *kwangsiensis* (Chao, 1959, с. 287, табл. 26, фиг. 6–8) отличается более глубокой лопастью  $U_1$ , меньшей эволютностью и большей вздутостью раковины.

Материал. 19 экз. из типового местонахождения.

### СПИСОК ЛИТЕРАТУРЫ

- Захаров Ю.Д. Биостратиграфия и аммоноиды нижнего триаса Южного Приморья. М.: Наука, 1968. С. 1–176.
- Захаров Ю.Д. Раннетриасовые аммоноиды Востока СССР. М.: Наука, 1978. 224 с.
- Захаров Ю.Д., Шигэта Я., Попов А.М. и др. Кандидаты в глобальные стратотипы границы индского и оленекского ярусов нижнего триаса в Южном Приморье // Стратигр. Геол. корреляция. 2002. № 5. С. 61–72.
- Захаров Ю.Д., Попов А.М., Коновалова И.В. Бухта Аякс-мыс Ахлестышева. Юго-Западное Приморье // Триас и юра Сихотэ-Алиня. Книга 1. Терригенный комплекс. Владивосток: Дальнаука, 2004. С. 18–35.
- Кипарисова Л.Д. Палеонтологическое обоснование стратиграфии триасовых отложений Приморского края. Ч. 1. Головоногие моллюски // Тр. Всес. н.-и. геол. ин-та. Нов. сер. 1961. Т. 48. С. 1–278.
- Попов Ю.Н. Триасовые аммоноиды Северо-Востока СССР. М.: Госгеолтехиздат, 1961. С. 1–179 (Тр. НИИ геол. Арктики. Т. 79).
- Шевырев А.А. Триасовые аммоноиды // Тр. ПИН АН СССР. 1986. Т. 217. С. 1–184.
- Arkell W.J., Kummel B., Wright C.W. Mesozoic Ammonoidea // Treatise on Invertebrate Paleontology. Pt. L. Mollusca 4, Cephalopoda, Ammonoidea. N.Y., Lawrence: Geol. Soc. Amer.; Univ. Kansas Press, 1957. P. 80–471.
- Chao King-koo. Lower Triassic ammonoids from Western Kwangsi, China // Palaentol. Sin. 1959. № 9. P. 1–355.
- Collignon M. Les Céphalopodes du Trias inférieur: Paléontologie de Madagascar // Ann. Paléontol. 1933. T. 22. P. 151–180.
- Krystyn L., Bhargava O.N., Richoz S. A candidate GSSP for the base of the Olenekian Stage: Mud at Pin Valley; district Lahul and Spiti, Himachal Pradesh (Western Himalaya), India // Albertiana. 2007. № 35. P. 5–29.
- Kummel B., Steele G. Ammonites from the Meekoceras gracilis Zone at Crittenden Spring, Elko County, Nevada // J. Paleontol. 1962. V. 36. № 4. P. 638–703.
- Nichols K.M., Silberling N.J. Early Triassic (Smithian) ammonites of paleoequatorial affinity from the Chulitna Terrane, South-Central Alaska // U.S. Geol. Surv. Prof. Pap. 1979. № 1121. P. B1–B5.
- Smith J.P. Lower Triassic ammonoids of North America // U.S. Geol. Surv. Prof. Pap. 1932. № 167. P. 1–199.
- Spath L.F. Catalogue of the fossil cephalopoda in the British Museum (Natural History). Pt 4. The Ammonoidea of the Trias. L., 1934. 521 p.

Tozer E.T. Triassic stratigraphy and faunas, Queen Elizabeth Islands, Arctic Archipelago // Geol. Surv. Canada. 1961. Mem. 316. P. 1–116.

Tozer E.T. Triassic time and ammonoids: problem and proposals // Canad. J. Earth Sci. 1971. № 8. P. 989–1031.

Tozer E.T. Canadian Triassic ammonoid faunas // Geol. Surv. Canada. 1994. Bull. 467. P. 1–663.

Waterhouse J.B. The Early and Middle Triassic ammonoid succession of the Himalayas in western and central Nepal. Pt 2. Systematic studies of the early Middle Scythian // Palaeontogr. Abt. A. 1996. Bd 241. S. 27–100.

Welter O. Die Ammoniten der unteren Trias von Timor // Paläontol. Timor. 1922. Lief. 11. № 19. S. 83–154.

#### Объяснение к таблице IV

Фиг. 1–3. *Ussurijuvenites popovi* sp. nov.; 1 – экз. ДВГИ, № 2/840: 1а – вид сбоку ( $\times 2$ ), 1б – вид с вентральной стороны ( $\times 2$ ), 1в – вид со стороны устья ( $\times 2$ ), 1г – деталь скульптуры, умбрикальные бугорки ( $\times 5$ ), 1д – умбрикальные бугорки (вид с вентральной стороны) ( $\times 5$ ), 1е – вентральная лопасть лопастной линии ( $\times 5$ ); 2 – голотип ДВГИ, № 3/840: 2а – вид слева ( $\times 2$ ), 2б – вид справа ( $\times 2$ ), 2в – вид с вентральной стороны ( $\times 2$ ), 2г – вид со стороны устья ( $\times 2$ ), 2д – деталь скульптуры в приустьевой части раковины ( $\times 6$ ), 2е – деталь скульптуры, умбрикальные бугорки ( $\times 6$ ), 2ж – боковая лопасть лопастной линии ( $\times 6$ ); 3 – экз. ДВГИ, № 5/840 ( $\times 2$ ): 3а – вид сбоку, 3б – вид с вентральной стороны.

Фиг. 4–11. *Ussurijuvenites artyomensis* sp. nov.; 4 – голотип, ДВГИ, № 10/840: 4а – вид слева ( $\times 2$ ), 4б – вид справа ( $\times 2$ ), 4в – вид с вентральной стороны ( $\times 2$ ), 4г – вид со стороны устья ( $\times 2$ ), 4д – вентральная лопасть лопастной линии ( $\times 5$ ), 4е – деталь скульптуры приустьевой части раковины ( $\times 6$ ), 4ж – умбрикальные бугорки (вид с вентральной стороны) ( $\times 5$ ); 5 – экз. ДВГИ, № 18/840 ( $\times 2$ ): 5а – вид сбоку, 5б – вид с вентральной стороны; 6 – экз. ДВГИ, № 11/840 ( $\times 2$ ): 6а – вид сбоку, 6б – вид с вентральной стороны; 7 – экз. ДВГИ, № 19/840: 7а – вид сбоку ( $\times 2$ ), 7б – вид с вентральной стороны ( $\times 2$ ), 7в – деталь скульптуры, умбрикальные бугорки (вид с вентральной стороны) ( $\times 5$ ), 7г – поперечное сечение фрагмокона ( $\times 2$ ); 8 – экз. ДВГИ, № 22/840, вид сбоку ( $\times 2$ ); 9 – экз. ДВГИ, № 25/840 ( $\times 2$ ): 9а – вид сбоку, 9б – вид со стороны устья; 10 – экз. ДВГИ, № 27/840 ( $\times 2$ ): 10а – вид сбоку, 10б – вид с вентральной стороны; 11 – экз. ДВГИ, № 28/840: 11а – вид сбоку ( $\times 2$ ), 11б – вид с вентральной стороны ( $\times 2$ ), 11в – вид с вентральной стороны ( $\times 5$ ).

Для всех изображенных экземпляров: Южное Приморье, карьер СМИД в окрестностях г. Артем; нижний триас, оленекский ярус, верхняя часть зоны *Hedenstroemia bosphorensis*.

### New Representatives of the Family Melagathiceratidae (Ammonoidea) from the Lower Triassic of South Primorye

O. P. Smyshlyeva, Y. D. Zakharov

A new ammonoid genus, *Ussurijuvenites* (Melagathiceratidae), is described from the lower Olenekian of South Primorye, represented by two new species (*U. popovi* sp. nov. and *U. artyomensis* sp. nov.); data on the inner shell structure of melagathiceratid ammonoids (based on *U. artyomensis* sp. nov.) are presented for the first time.

*Keywords:* ammonites, Olenekian (Lower Triassic), South Primorye.

Таблица IV

